

УДК 677.052.9

## ОБЩИЕ ОСНОВЫ КЛАССИФИКАЦИИ И ПРОЕКТИРОВАНИЯ НЕПОДВИЖНЫХ ВЬЮРКОВ

К.Ю. ПАВЛОВ

(Ивановская государственная текстильная академия)

Несмотря на то, что к настоящему времени созданы и успешно используются различные типы неподвижных выюрков (кольцевые, скобообразные, цилиндрические, спиральные и геликоидные) продолжается создание новых их видов с обоснованием формы и расчетом оптимальных параметров.

Вместе с тем различные типы неподвижных выюрков имеют общие характеристики и принципы расчета. Общим для всех видов выюрков является то, что основные характеристики эффективности работы последних определяются свойствами поверхности, образующей их форму, а также характеристикой геометрического положения оси продукта прядения, расположенного на поверхности, образующей рабочую часть выюрка, то есть характеристикой линии, с которой совпадает ось продукта прядения.

Детальный анализ известных типов неподвижного выюрка показывает, что их рабочую часть можно описать уравнением винтовой поверхности в общем виде или одним из частных случаев этой поверхности.

Винтовые поверхности (иначе они называются геликоидальными) образуются движением кривой, которое складывается из вращательного (вокруг оси) и поступательного (параллельно оси) перемещения, при этом отношение скоростей обоих движений должно быть величиной постоянной. В частном случае, когда поступательное движение отсутствует, то есть его скорость равна нулю, получаем обыкновенную поверхность вращения.

В общем виде эту поверхность можно задать уравнением

$$f(x, y, z)=0 \quad (1)$$

или переменным радиусом-вектором  $\bar{r}$ , зависящим от двух независимых переменных  $u, v$ :

$$\bar{r} = \bar{r}(u, v). \quad (2)$$

Разложив  $\bar{r}$  по ортам, найдем

$$\bar{r}(u, v)=x(uv)i+y(uv)j+z(uv)h. \quad (3)$$

Откуда получим

$$x = f_1(uv); \quad y = f_2(uv); \quad z = f_3(uv). \quad (4)$$

На основании уравнения (4) имеем выражение для поверхности вращения (рис.1).

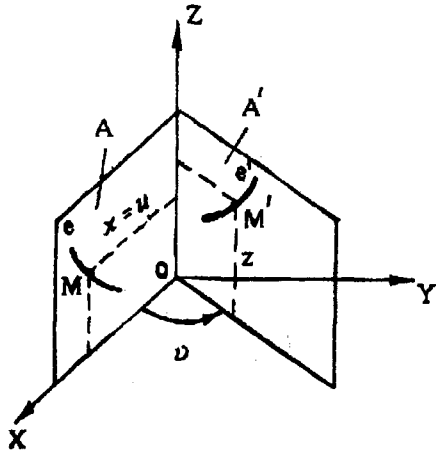


Рис. 1

Пусть плоская кривая  $e$  перемещается параллельно оси  $OZ$  в плоскости  $A$ . В свою очередь, плоскость  $A$  вращается вокруг той же оси. По условию кривая  $e$  перемещается параллельно оси  $OZ$  пропорционально углу поворота  $v$  в плоскости  $A$ . Следовательно, когда плоскость  $A$  займет положение  $A'$ , каждая точка  $M'$  кривой  $e'$  поднимется вверх на некоторый отрезок  $\alpha v$ , где  $\alpha$  – коэффициент пропорциональности.

Пусть уравнение кривой  $e'$  в плоскости  $XOZ$  будет

$$z = z(u).$$

Тогда из рис.1 запишем выражение для координат точки  $M'$  винтовой поверхности:

$$x = u \cos v; \quad y = u \sin v; \quad z = z(u) + \alpha v. \quad (5)$$

Если  $\alpha=0$ , то (как уже было замечено) винтовая поверхность обращается в поверхность вращения. Подставляя в (5)  $\alpha=0$ , получаем

$$x = u \cos v; \quad y = u \sin v; \quad z = z(u). \quad (6)$$

Рассмотрим несколько типов неподвижных выюрков исходя из уравнения (5).

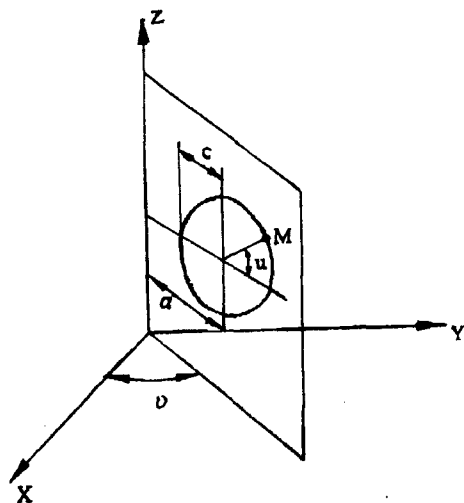


Рис. 2

Пример 1. Пусть кривая  $e$  в начальном положении представляет собой прямую, параллельную оси  $OX$  (рис.2). В этом случае в (5) нужно положить  $z(u)=0$ . Таким образом,

$$x = u \cos v; \quad y = u \sin v; \quad z = \alpha v. \quad (7)$$

Эта поверхность называется прямым геликоидом и является основой для проектирования геликоидальных выюрков. Если исключить из (7) переменные  $u$  и  $v$ , получим уравнение геликоида в Декартовых координатах:

$$z = h \operatorname{arctg} \frac{y}{x}. \quad (8)$$

Пример 2. Пусть кривая  $e$  представляет собой прямую, наклоненную к плоскости  $XOY$  под углом  $\beta$ . Тогда

$$x = u \cos v; \quad y = u \sin v; \quad z = u \operatorname{tg} \beta + \alpha v. \quad (9)$$

Условно такую фигуру назовем косым геликоидом. Ее можно использовать для

проектирования некоторых видов неподвижных выюрков.

Приняв  $\alpha=0$  как частный случай, получим поверхность вращения – коническую, которая также используется при проектировании неподвижных выюрков.

Пример 3. Пусть кривая  $e$  представляет собой окружность (рис.2).

Тогда

$$\begin{aligned}x &= (a + c \cos u) \cos v; \\y &= (a + c \cos u) \sin v; \\z &= c \sin u + \alpha v.\end{aligned}\quad (10)$$

Получаем поверхность спирали, также используемую при проектировании неподвижных выюрков.

Приняв здесь  $\alpha=0$ , получаем поверхность вращения – тор, которая широко применяется при проектировании неподвижных выюрков.

Аналогично можно получить поверхность цилиндра (рис.3):

$$x = a \cos v; \quad y = a \sin v; \quad z = u, \quad (11)$$

– она также используется при проектировании неподвижных выюрков.

## ВЫВОДЫ

Установлены принципы классификации неподвижных выюрков, позволяющие создавать основы их проектирования.

## ЛИТЕРАТУРА

1. Павлов Ю.В. Неподвижные выюрки в прядении. – М.: Легкая индустрия, 1975.

2. Чистобородов Г.И. Формирование текстильного материала в процессе его технологической подачи. – Иваново, 1995.

Рекомендована кафедрой прядения. Поступила 14.05.01.

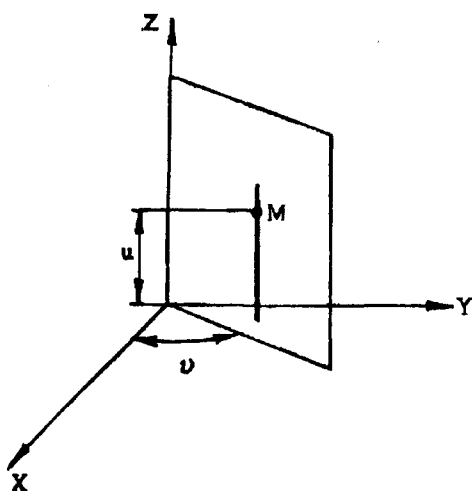


Рис. 3